

Méthode multipôle rapide multi-niveaux en visco-élastodynamique 3D

E. Grasso^{1,2}, S. Chaillat³, J.-F. Semblat¹, M. Bonnet²

¹ LCPC Paris, Groupe "Séismes et Vibrations", semblat@lcpc.fr

² LMS (UMR CNRS 7649), Ecole Polytechnique, {grasso,bonnet}@lms.polytechnique.fr

³ College of Computing, Georgia Institute of Technology, Atlanta, USA, stephanie.chaillat@cc.gatech.edu

Mots clés — Méthode Multipôle Rapide, Eléments de Frontière, visco-élastodynamique 3D

Contexte et enjeu La méthode des éléments de frontière accéléré par multipôles rapides (*fast multipole boundary element method*, FMBEM) et sa variante multi-niveaux (ML-FMBEM) sont connus pour être des outils puissants en calcul de propagation d'ondes, notamment pour des domaines non bornés, faisant intervenir des modèles de grande taille N [1]. Cette formulation, limitée à des comportements linéaires, prend implicitement en compte les conditions de radiation. La présente étude concerne une extension de la ML-FMBEM, sous sa forme récemment développée pour l'élastodynamique 3D dans le domaine fréquentiel [2], à la visco-élastodynamique. La dissipation du matériau est introduite dans la formulation en considérant des nombres d'ondes et des vitesses complexes. On cherche ainsi des solutions sous la forme :

$$u(x, \omega) = u_0(\omega) e^{ik^*(\omega)x}, \quad k^*(\omega) = k(\omega)[1 + i\beta(\omega)] \quad (1)$$

où k^* est le nombre d'onde complexe, $k = \omega/c(\omega)$ est le nombre d'onde réel et le paramètre $\beta(\omega)$ exprime la dissipation intrinsèque du matériau. La FM-BEM utilisée repose sur un développement de la fonction de Green $G(|\mathbf{r}|; k^*) = e^{ik^*|\mathbf{r}|}/(4\pi|\mathbf{r}|)$ pour l'équation de Helmholtz dite *diagonale* qui a la forme :

$$G(|\mathbf{r}|; k^*) = \lim_{L \rightarrow +\infty} \int_{\mathcal{S}} e^{ik^*\hat{\mathbf{s}}\cdot\mathbf{r}'} \mathcal{G}_L(\hat{\mathbf{s}}; |\mathbf{r}_0|, k^*) d\hat{\mathbf{s}}, \quad \mathcal{G}_L(\hat{\mathbf{s}}; \mathbf{r}_0, k^*) = \frac{ik^*}{16\pi^2} \sum_{0 \leq l \leq L} (2l+1) i^l h_l^{(1)}(k^*|\mathbf{r}_0|) P_l(\hat{\mathbf{s}}\cdot\hat{\mathbf{r}}_0) \quad (2)$$

où $\mathcal{S} = \{\hat{\mathbf{s}} \in \mathbb{R}^3, \|\hat{\mathbf{s}}\| = 1\}$ est la sphère unité, $\mathbf{r} = \mathbf{r}_0 + \mathbf{r}'$ et $\mathcal{G}_L(\hat{\mathbf{s}}; \mathbf{r}_0; k^*)$ est la fonction de transfert (exprimée en termes des fonctions de Hankel sphériques de première espèce $h_l^{(1)}$ et des polynômes de Legendre P_l). La convergence de la décomposition (2) pour $L \rightarrow +\infty$ (étudiée par Darve [3]), entraîne la convergence des noyaux élastodynamiques, qui sont des combinaisons linéaires des dérivées de $G(|\mathbf{r}|; k^*)$.

Cette décomposition étant fondamentale pour la ML-FMBEM, son évaluation numérique doit être précise. En particulier, le paramètre L de troncature de la série (2) joue un rôle crucial. Dans le cas de nombres d'onde réels, l'erreur de troncature introduite par cette approximation a été largement étudiée d'un point de vue mathématique et numérique [3, 4]. Le paramètre L dépend du niveau selon une relation du type $L = L(kd)$, d étant la taille linéaire d'une cellule cubique au niveau considéré.

Résultats. L'introduction du nombre d'onde complexe $k^*(\omega)$ influence notablement le comportement numérique du développement (2). La FMBEM pour les matériaux amortissants, et notamment l'ajustement de paramètres tels que L , sont peu abordés [5, 6]. Le choix de L résulte d'un compromis entre l'évaluation précise de $G(|\mathbf{r}|; k^*)$ et de ses dérivées (L doit être suffisamment grand) et la nécessité d'éviter la croissance $O((l/z)^l)$ de $h_l^{(1)}$ pour $l \gg z$. Dans la présente étude on ajuste empiriquement (au moyen d'expériences numériques basées sur l'évaluation de $G(|\mathbf{r}|; k^*)$ pour différentes combinaisons de nuages de points à l'intérieur de cellules situées sur une même liste d'interaction) une relation $L(|k^*d|, \beta)$ de forme inspirée par le cas du nombre d'onde réel :

$$L(|k^*d|, \beta) = \sqrt{3}|k^*d| + (7.5 + C\beta) \text{Log}_{10}(\sqrt{3}|k^*d| + \pi) \quad (3)$$

Quand $\beta = 0$, la relation (3) se réduit à celle utilisée pour l'élastodynamique [2]. La constante C est positive, la valeur de L utilisée dans (2) devant croître avec l'amortissement afin de maintenir une précision fixée au calcul, un comportement déjà constaté en électromagnétisme [5]. Notre présentation détaillera l'effet du choix de la constante C dans 3, un exemple en étant donné en Fig. 1 sur un exemple à solution

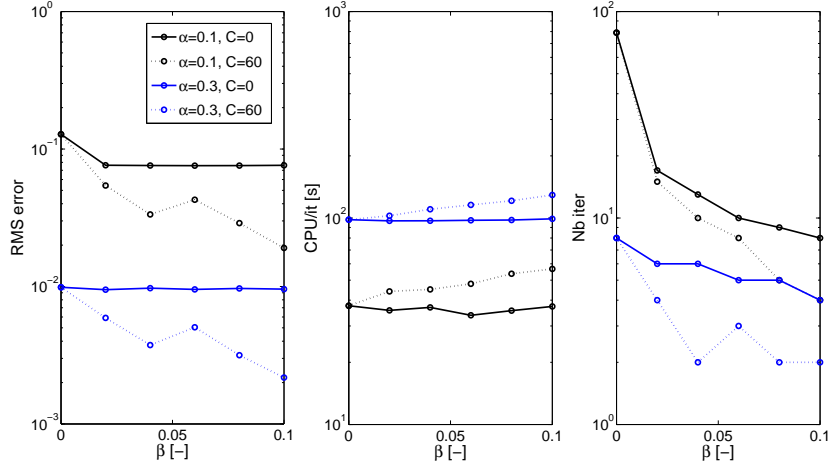


FIG. 1: Cavit  pressuris e ($N = 122886$, fr quence normalis e $\eta_P = k_P R / \pi = 3$) : effet de l'augmentation de L (  travers C) et de l'ajout d'un niveau (par r duction du param tre d'arr t de subdivision α).

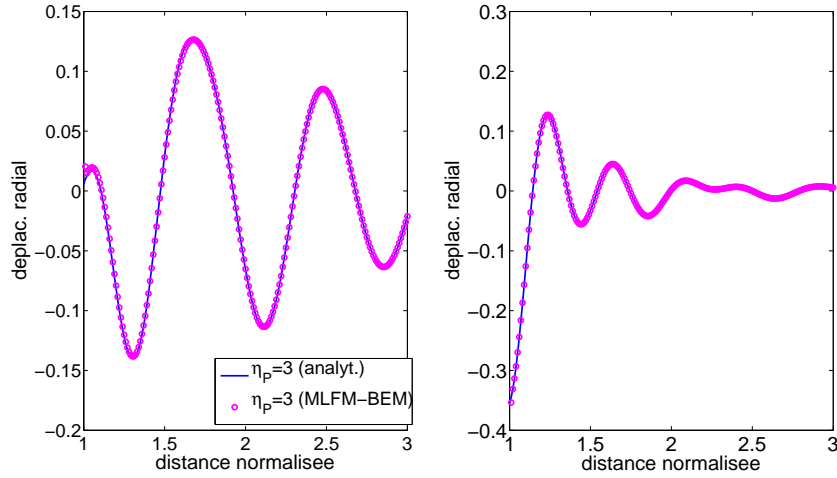


FIG. 2: Diffraction d'une onde plane P par une cavit  sph rique ($\theta = \pi$ (gauche) et $\theta = \pi/2$ (droite) par rapport   la direction de l'onde incidente.), avec $N = 122886$, $\beta = 0.1$, $C = 60$, $\alpha = 0.1$ (6 niveaux).

analytique connue (cavit  sph rique de rayon R dans un milieu infini soumise   pression interne harmonique). On y examinera par ailleurs la possibilit  d'ajouter (par rapport au cas  lastodynamique $\beta = 0$) des niveaux   la structure multi-niveaux en r glant le param tre d'arr t de subdivision α ($d_{min} = \alpha \lambda_S$ et $d^{(\bar{\ell})} \leq d_{min} \leq d^{(\bar{\ell}-1)}$ selon β (Fig. 1), $\bar{\ell} \in \mathbb{N}$  tant le num ro du niveau de subdivision le plus profond). L' tude de la propagation des ondes dans les sols  tant l'application vis e (propagation d'ondes sismiques ou de vibrations induites par le trafic ferroviaire), l' tude est restreinte   la plage $0 \leq \beta \leq 0.1$.

R f rences

- [1] W.C. Chew, H.Y. Chao, T.J. Cui, S.Ohnuki, Y.C. Pan, J.M. Song, S.Velamparambil, J.S. Zhao. Fast integral equation solvers in computational electromagnetics of complex structures. *Eng. Anal. Bound. Elem.*, 27 :803–823, 2003.
- [2] S.Chaillat, M.Bonnet, and J.-F. Semblat. A multi-level fast multipole BEM for 3-D elastodynamics in the frequency domain. *Computer Methods In Applied Mechanics And Engineering*, 197 :4233–4249, 2008.
- [3] E. Darve. The fast multipole method I : Error analysis and asymptotic complexity. *SIAM Journal of Numerical Analysis*, 38 :98–128, 2000.
- [4] J. Song and WC Chew. Error analysis for the truncation of multipole expansion of vector green's functions. *IEEE Microwave and Wireless Components Letters*, 11 :311–313, 2001.
- [5] N. Geng, A. Sullivan, and L. Carin. Fast multipole method for scattering from an arbitrary PEC target above or buried in a lossy half space. *IEEE Transactions on Antennas and Propagation*, 49 :740–748, 2001.
- [6] Y. Yasuda and T. Sakuma. Analysis of sound fields in porous materials using the fast multipole bem. In *37th International Congress and Exposition on Noise Control Engineering, Shanghai, China*, 26-29 October.